

УДК 538.91

© 1990

ФРАКТАЛЬНЫЕ МОДЕЛИ ПРОСТРАНСТВЕННОЙ СТРУКТУРЫ ВЫСОКОДИСПЕРСНЫХ МЕТАЛЛИЧЕСКИХ ЧАСТИЦ

М. М. Хворов, Р. Р. Нигматуллин

Рассмотрены фрактальные модели пространственной структуры высокодисперсных металлических ферромагнитных частиц (железо и его сплавы), полученных методом двухслойной электролитической ванны. Величины фрактальных размерностей дендритных частиц зависят от природы металла и изменяются в пределах от 1.25 до 1.89 в зависимости от типа предложенной модели.

Дендритные частицы в широком диапазоне размеров являются характерным примером фрактальных объектов, для которых в соответствии с классическим определением Манделброта, хаусдорфова размерность строго больше топологической [1, 2]

$$D_{\phi} > D_T. \quad (1)$$

Для высокодисперсных дендритных металлических частиц, получаемых методом двухслойной электролитической ванны [3], возникает задача разработки конкретных фрактальных моделей пространственной структуры частиц, не только описывающих реальную нерегулярную форму получаемых объектов, но и приводящих к пониманию механизма роста таких частиц и формирования комплексов их физических (в частности, магнитных) свойств, весьма важных для разнообразных практических приложений высокодисперсных ферромагнетиков.

Распределение дендритных высокодисперсных металлических частиц, получаемых электролитически (железа, никеля, кобальта и их сплавов), по длинам центральных осей нулевого порядка, по данным электронной микроскопии, близко к логарифмически-нормальному, что позволяет найти параметры распределения — математическое ожидание длины центральной оси частицы $l_{0, \text{д}}$ и дисперсию распределения $\sigma_{\text{д}}$ (см. таблицу). Расчеты проводили по способу, изложенному в [4], путем построения логарифми-

Характеристики фрактальной структуры (β , \bar{k} , \bar{D} , \bar{D}_s)
и параметры гистограмм распределения по длинам центральных осей нулевого порядка
для высокодисперсных дендритных частиц железа и его сплавов

| Металл | j | ω | M | $\bar{\beta}$ | \bar{k} | \bar{D} | \bar{D}_s | $l_{0, \text{д}}$, нм | $\sigma_{\text{д}}$ |
|----------|-----|----------|-----|---------------|-----------|-----------|-------------|------------------------|---------------------|
| Fe | 10 | 0.30 | МК | 27 | 16 | 1.20 | 1.25 | 180 | 1.82 |
| Fe | 10 | 2.00 | МК | 28 | 10 | 1.45 | 1.44 | 130 | 2.14 |
| Fe | 20 | 1.05 | ОК | 23 | 12 | 1.26 | 1.28 | 260 | 1.52 |
| Fe—Co—Ni | 20 | 1.03 | ОК | 26 | 8 | 1.57 | 1.50 | 480 | 1.47 |
| Fe—Co | 20 | 1.05 | ОК | 25 | 9 | 1.48 | 1.49 | 430 | 1.40 |

Примечание. j — плотность катодного тока (А/дм²), ω — скорость вращения дискового катода (с⁻¹), M — химический модификатор поверхности частиц, МК — миристиновая кислота, ОК — олеиновая кислота.

чески вероятностных графиков в координатах $\ln l-t$, где t — аргумент функции Лапласа.

Элементарная модель структуры разветвленного дендрита (рис. 1, а) представляет собой систему ветвей нулевого l_0 , первого l_1 и далее порядков. Если для идеализированного случая регулярной структуры ввести параметры: p — число ветвей более высокого порядка на ветви предыдущего порядка, k — соотношение длин ветвей $k=l_n/l_{n+1}$, то суммарная длина ветвей дендрита равна соответственно: $L_0=l_0$ на нулевом этапе,

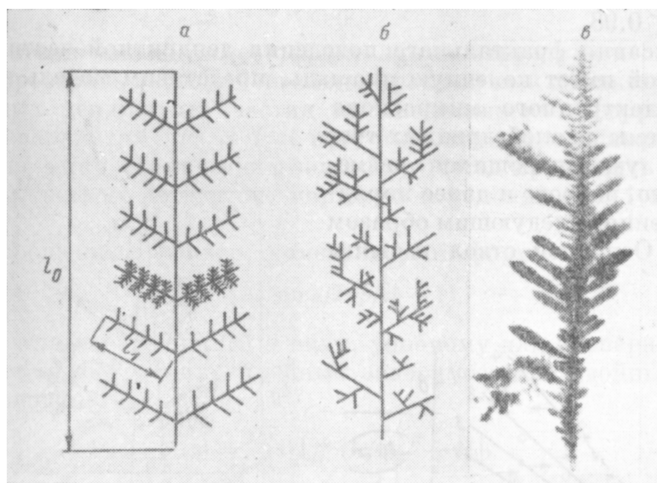


Рис. 1. Фрактальные модели высокодисперсных дендритных частиц железа с регулярной и нерегулярной структурой (а, б) и электронно-микроскопический снимок дендритной частицы железа (в). $\times 105\ 000$.

$L_1=(p/k) l_0$ на первом этапе, $L_n=(p/k)^n l_0$ — на n -м этапе. Вводя масштаб $\eta=l_0/k^n$, $n=(1/\ln k) \ln (l_0/\eta)$, получим

$$L(\eta) = \eta (l_0/\eta)^{D_\phi}, \quad (2)$$

где фрактальная размерность дендритной частицы

$$D_\phi = \ln p / \ln k. \quad (3)$$

В общем случае на каждом этапе построения модели дендритной структуры параметры p и k непостоянны и принимают случайные значения. Соответствующая модель представлена на рис. 1, б и может быть описана в рамках теории обобщенных фракталов [5]. При этом суммарная длина ветвей дендрита на n -м этапе равна

$$L_n = p_1 p_2 \dots p_n \frac{l_0}{k_1 k_2 \dots k_n}. \quad (4)$$

Если ввести среднегеометрические значения параметров, определяющих структуру частиц \bar{p} и \bar{k} как $\bar{p}=(p_1 p_2 \dots p_n)^{1/n}$, $\bar{k}=(k_1 k_2 \dots k_n)^{1/n}$, то обобщенная фрактальная размерность \bar{D}_ϕ равна

$$\bar{D}_\phi = \ln \bar{p} / \ln \bar{k}, \quad (5)$$

обобщенный масштаб $\bar{\eta}=l_0/\bar{k}^n$ и

$$L(\bar{\eta}) = \bar{\eta} (l_0/\bar{\eta})^{\bar{D}_\phi}. \quad (6)$$

Статистическая обработка электронно-микроскопических снимков дендритных частиц высокодисперсных металлов подгруппы железа и их сплавов (рис. 1, в) показывает, что значения параметров фрактальной

структуры частиц \bar{p} , \bar{k} , \bar{D}_ϕ зависят от химической природы металла или сплава и ряда параметров электролиза (см. таблицу).

Экспериментально величину \bar{D}_ϕ можно определить из угла наклона прямых в двойных логарифмических координатах $\ln(L(\bar{\eta})/\eta) - \ln(l_0/\bar{\eta})$. При этом подсчет суммарной длины ветвей дендрита для каждой экспериментальной точки (рис. 2) проведен на электронно-микроскопических снимках отдельных частиц, снятых при восьми фиксированных масштабах увеличения. Коэффициенты корреляции для прямолинейных зависимостей в двойных логарифмических координатах достаточно велики $0.92 < R < 0.98$.

Для описания фрактального поведения дендритной частицы, каждая ветвь которой имеет конечную площадь, представим модель ее проекции на экран электронного микроскопа в виде системы равнобедренных треугольников уменьшающихся размеров нулевого, первого и далее порядков, построенной следующим образом (рис. 3, а). Основной ствол частицы

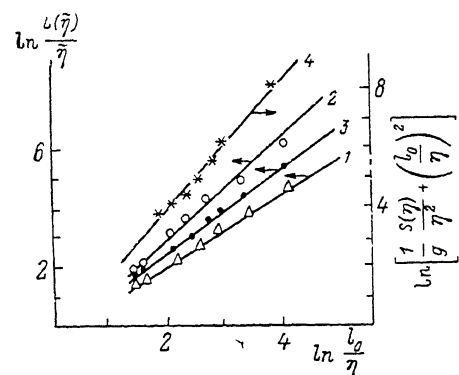


Рис. 2. Зависимости (6), (10) в двойных логарифмических координатах для высокодисперсных дендритов железа (1—3) и сплава Fe—Co—Ni (4).

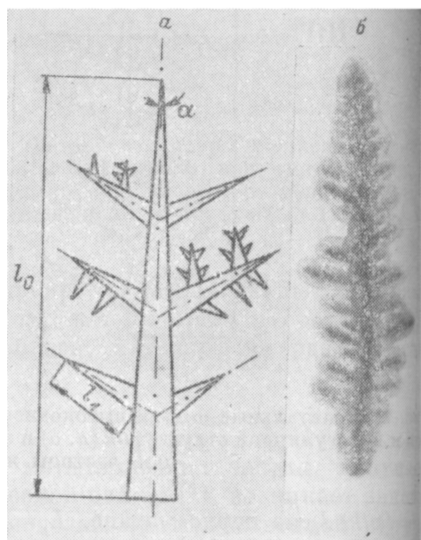


Рис. 3. Плоскостная модель дендритной структуры (а) и электронно-микроскопический снимок частицы высокодисперсного сплава Fe—Co—Ni (б). $\times 103\ 000$.

нулевого порядка длиной l_0 и площадью $S_0 = 1/2 \sin \alpha l_0^2$ разделим на некоторую совокупность более мелких масштабов и образуем серию из p_1 треугольных ветвей первого порядка длиной $l_1 = l_0/k_1$. Суммарная площадь частицы на этом этапе

$$S_1 = S_0 + 1/2 p_1 \cos \alpha (l_0/k_1)^2. \quad (7)$$

При условии регулярности структуры и подобия на каждом последующем масштабе деления общая площадь поверхности дендрита для рассматриваемой плоскостной модели определится выражением

$$S_n = \frac{1}{2} \sin \alpha l_0 \left[1 + \frac{p_1}{k_1^2} + \dots + \left(\frac{p_1}{k_1^2} \right)^n \right] = \frac{1}{2} \sin \alpha l_0 \frac{(p_1/k_1^2)^{n+1} - 1}{p_1/k_1^2 - 1} = g(\alpha) l_0 \frac{(l_0/\eta)^{D_S - 2} - 1}{(l_0/\eta_2)^{D_S - 2} - 1}, \quad (8)$$

где введены величины масштаба η_n на n -м этапе деления, при этом $n = (1/\ln k_1) \ln(l_0/\eta_n)$, геометрический фактор формы элемента дендрита $g(\alpha) = 1/2 \sin \alpha$, фрактальная размерность дендрита для плоскостной модели

$$D_S = \ln p_1 / \ln k_1. \quad (9)$$

Критерием фрактальности модели дендритной частицы является величина параметра $\bar{p}/\bar{k}^2 \geq 1$ по сравнению с единицей. При $\bar{p}/\bar{k}^2 < 1$, в пределе $n \gg 1$ суммарная площадь проекции поверхности частицы не зависит от масштаба η и

$$S_n = g(\alpha) [l_0^2 / (1 - \bar{p}/\bar{k}^2)],$$

при этом частица не является фрактальным образованием. При $\bar{p}/\bar{k}^2 > 1$, в пределе $n \gg 1$ величина S_n зависит от выбранного масштаба η и

$$S_n(\eta) = g(\alpha) l_0^2 (\bar{p}/\bar{k}^2)^n = g(\alpha) \eta_n^2 (l_0/\eta_n)^{D_s},$$

тогда дендритная частица имеет фрактальную структуру.

Однако проверить экспериментально фрактальный характер структуры исследованных дендритных частиц высокодисперсных ферромагнетиков по величине параметра $\bar{p}/\bar{k}^2 \geq 1$ не представляется возможным, поскольку на электронно-микроскопических снимках удается проследить лишь ветви не более чем третьего-четвертого порядков и условие $n \gg 1$ не выполняется.

Вводя обобщенный фактор геометрической формы

$$\bar{g}(\alpha) = \sin \alpha / 2 (\bar{p}/\bar{k}^2 - 1),$$

можно привести выражение (8) к виду, удобному для экспериментальной проверки путем построения линейных зависимостей в двойных логарифмических координатах

$$S(\eta) = \bar{g}(\alpha) [\eta^2 (l_0/\eta)^{D_s} - l_0^2],$$

$$\ln \left[\frac{1}{\bar{g}(\alpha)} \frac{S(\eta)}{\eta^2} + \left(\frac{l_0}{\eta} \right)^2 \right] = D_s \ln \frac{l_0}{\eta}. \quad (10)$$

На рис. 2 прямая 4 построена в соответствии с уравнением (10) для дендритной частицы высокодисперсного сплава Fe—Co—Ni. Найденное значение $D_s = 1.89$, коэффициент корреляции для прямой 4 равен 0.98.

Предложенные модели пространственной структуры частиц высокодисперсных ферромагнетиков позволяют получить количественные характеристики степени их разветвленности (дендритности) — параметры p , k и дробные фрактальные размерности. Эти характеристики могут служить основой для изучения зависимостей ряда физико-химических свойств таких частиц от степени их разветвленности и для построения моделей намагниченности систем дендритных частиц с фрактальной структурой.

Список литературы

- [1] Mandelbrot B. V. The Fraktal Geometry of Nature. Freeman, San—Fransisco, 1983.
- [2] Фракталы в физике. М., 1988. 670 с.
- [3] Натансон Э. М. Коллоидные металлы. Киев, 1959. 334 с.
- [4] Granqvist C. G., Buhram R. A. // J. Appl. Phys. 1976. V. 47. N 5. P. 2200—2219.
- [5] Nigmatullin R. R. // Phys. St. Sol. (b). 1989. V. 153. N 1. P. 49—57.

Институт коллоидной химии и химии воды
им. А. В. Думанского
АН УССР

Киев

Казанский государственный университет

Поступило в Редакцию
2 февраля 1990 г.